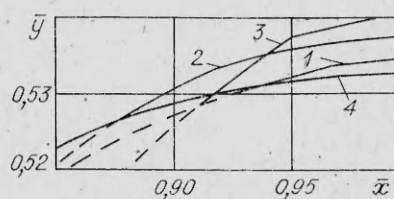


На фиг. 2 показана зависимость скорости эрозии U при $x = 0,98$ (на фиг. 1 указана стрелкой) от размера эродирующих частиц (кривая 3). Видно, что скорость эрозии монотонно возрастает с увеличением диаметра частиц, что непосредственно следует из выражения (1.4) для разности наклонов

$$y'_a - y'_w.$$

Заметим, что при эрозии полидисперсными частицами следует использовать уравнения (2.1) для расчета результирующих повреждений. Из анализа данных, приведенных на фиг. 2, 3, следует, что в этом случае необходимо знать функцию распределения частиц по размерам. Вид кривой распределения имеет более существенное влияние на эрозию, чем на другие параметры двухфазного течения, что согласуется с выводами [16].



Ф и г. 3

ЛИТЕРАТУРА

1. Neilson J. H., Gilchrist A. An analytical and experimental investigation of the trajectories of particles entrained by the gas flow in nozzles.— J. Fluid Mech., 1968, vol. 35, p. 549.
2. Neilson J. H., Gilchrist A. An experimental investigation into aspects of erosion in rocket motor tall nozzles.— Wear, 1968, N 11.
3. Рафиков Р. В., Зауличный Е. Г. и др. Численное исследование двухфазного течения в осесимметричном канале с учетом реальных механизмов разрушения его стенок.— Изв. СО АН СССР. Сер. техн. наук, 1981, № 3, вып. 1.
4. Шелдон, Маджи, Кроу. Эрозия трубы в газовом потоке, содержащем частицы.— Теор. основы инж. расчетов, 1977, № 2.
5. Рафф А. У., Видерхорн С. М. Эрозия при ударе твердых частиц.— В кн.: Эрозия. М.: Мир, 1982.
6. Трунев А. П., Фомин В. М. Обтекание тел двухфазным потоком типа газ — твердые частицы с учетом эрозии.— ПМТФ, 1983, № 1.
7. Стернин Л. Е. Основы газодинамики двухфазных течений в соплах. М.: Машиностроение, 1974.
8. Marble F. Dynamics of dusty gases.— Ann. Rev. of Fluid Mech., 1970, vol. 2, N 4.
9. Крайко А. Н., Ткаленко Р. А. К решению прямой задачи теории сопла Лавалья для двухфазной смеси при малом отставании частиц.— ПМТФ, 1973, № 4.
10. Кам олов В. Н., Маслов Б. Н., Пирумов У. Г. Исследование траекторий частиц в соплах Лавалья.— Изв. АН СССР. МЖГ, 1971, № 5.
11. Шелдон. Сходства и различия в эрозионном поведении материалов.— ТОИР, 1970, № 3.
12. Wakeman T., Tabakoff W. Erosion behaviour in a simulated jet engine environment.— J. Aircraft, 1979, vol. 16, N 12.
13. Bryan G. M., Pugh F. M. Cratering of lead by oblique impacts of hypervelocity steel pellets.— J. Appl. Phys., 1962, vol. 33, N 2.
14. Старр В. Физика явлений с отрицательной вязкостью. М.: Мир, 1971.
15. Яненко Н. Н., Солоухин Р. И., Паньшин А. Н., Фомин В. М. Сверхзвуковые двухфазные течения в условиях скоростной неравновесности частиц. Новосибирск: Наука, 1980.
16. Ketner D. M., Hess K. S. Particle impingement erosion. AIAA Pap. N 1250, 1979.

Поступила 27/XII 1983 г.

УДК 54—138

МЕТОД ПОТОКОВ В КИНЕТИКЕ КОАГУЛЯЦИИ

А. А. Ликальтер

(Москва)

Изменения концентрации и распределения по размерам частиц аэрозоля в широком диапазоне условий вызваны коагуляцией [1]. Измеренные распределения частиц по радиусам имеют куполообразный вид. Верхняя часть купола обычно описывается так называемым нормальным логарифмическим распределением. Правое крыло может спадать значительно медленнее, по степенному закону [2]. Степенной спектр частиц атмосферного аэрозоля обнаружен в [3]. Впоследствии он был объяснен на основе представления о постоянном потоке массы по спектру частиц. С точностью до коэф-

коэффициента вид спектра следует из размерных соображений с использованием гипотезы локальности [4, 5]. Исходя из кинетического уравнения стационарный спектр получен в [6]. Вместе с коэффициентами стационарные степенные спектры при тепловой и гравитационной коагуляции в разных диапазонах радиусов частиц получены в [7]. В [8] показано, что эти результаты следуют из более общего анализа кинетического уравнения с использованием понятий потоков частиц и массы по спектру. Однако до сих пор не было введено прямого кинетического определения потоков. Последнее в теории коагуляции и в некоторых других похожих задачах является нетривиальным.

В данной работе явно определяются потоки числа и объема частиц (капель) по спектру, соответствующие физическому смыслу этих величин. Такой подход (во многом аналогичный разработанному ранее в колебательной кинетике [9]) сразу приводит к стационарным степенным распределениям и может быть полезен для анализа более сложных задач. Другая рассматриваемая задача — эволюция нормального логарифмического распределения. Показано, что поток числа капель по спектру характеризуется конечной эффективной длиной пробега, благодаря чему возможно использование уравнения типа Фоккера — Планка. Вводится логарифмическая шкала радиусов частиц, в которой уравнение принимает вид, допускающий аналогию с движением газа. Вычислена скорость распространения максимума распределения. С использованием условия нормировки найдены зависимости параметров логарифмически нормального распределения от времени.

1. Рассмотрим, каким образом осуществляется перенос частиц и объема по спектру. Результат слияния капель 1 и 2 радиусов $r_1 < r_2$ удобно представить следующим образом: первая исчезает, а вторая смещается по оси радиусов в точку 3 в соответствии с законом сохранения объема $r_3^3 = r_1^3 + r_2^3$. Смещение большей капли дает вклад в поток числа капель в пространстве радиусов j . При слиянии капель одинакового радиуса смещение максимальное: $r_3 = 2^{1/3}r_2$. Величина $(1/3) \ln 2$ играет роль характерного пробега частиц в логарифмической шкале радиусов $\ln r$. Исчезновение же меньшей капли при слиянии с большей представляет вклад в сток C .

Данная интерпретация позволяет написать уравнение коагуляции в форме закона сохранения:

$$(1.1) \quad \partial n / \partial t = -\partial j / \partial r - C,$$

где

$$(1.2) \quad j(r) = \int_D \int K(r_1, r_2) n(r_1) n(r_2) dr_1 dr_2;$$

$$(1.3) \quad C(r) = n(r) \int_r^\infty K(r, r_1) n(r_1) dr_1.$$

Здесь $n(r)$ — плотность числа капель в пространстве радиусов; t — время; $K(r_1, r_2)$ — коэффициент скорости коагуляции. Область интегрирования D в (1.2) определяется неравенствами $r_1 < r_2 < r$ и $r_1^3 + r_2^3 > r^3$ (фиг. 1). Коэффициент скорости тепловой (броуновской) коагуляции для частиц с радиусами более чем 0,1 мкм имеет вид [1]

$$(1.4) \quad K(r_1, r_2) = (2kT/3\eta)(2 + r_1/r_2 + r_2/r_1),$$

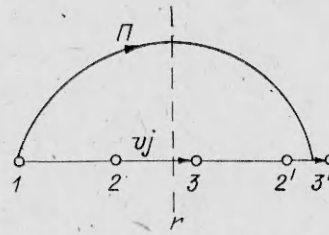
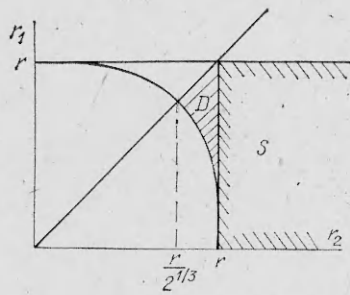
где T — температура; η — вязкость газа; k — постоянная Больцмана.

Интеграл (1.2) по области D можно представить как разность интегралов по областям D' ($r_1 < r_2 < r$) и D'' ($r_1 < r_2$, $r_1^3 + r_2^3 < r^3$). Тогда производная $\partial j / \partial r$ записывается в виде

$$\frac{\partial j}{\partial r} = n(r) \int_0^r K(r_1, r) n(r_1) dr_1 - \int_{r_1 < r_2} \int K(r_1, r_2) n(r_1) n(r_2) \delta \times \\ \times [(r_1^3 + r_2^3)^{1/3} - r] dr_1 dr_2.$$

Подстановка этого выражения в (1.1) приводит уравнение коагуляции к стандартному виду (см., например, [2]).

Поток числа частиц j , вообще говоря, нелокален. Однако в большом масштабе по сравнению с характерным пробегом частицы в пространстве



Ф и г. 1

Ф и г. 2

радиусов поток j можно считать локальным. Это позволяет преобразовать уравнение (1.1) к виду закона сохранения объема.

Умножая (1.1) на объем капли $v(r)$, получим уравнение для плотности объема vn на оси радиусов:

$$(1.5) \quad \frac{\partial (vn)}{\partial t} = -\frac{\partial}{\partial r} (vj) + v'j - vC,$$

где штрихом обозначена производная по r . Если рассматривать поток j как локальный, то vj — конвективный поток объема, переносимый с потоком числа капель, $v'j$ и vC — источник и сток объема. Так как при коагуляции объем капель сохраняется, разность источника и стока может быть представлена в виде дивергенции потока передаваемого объема:

$$(1.6) \quad v'j - vC = -\partial\Pi/\partial r.$$

Поток передаваемого объема в сечении r оси радиусов определяется выражением

$$(1.7) \quad \Pi(r) = \iint_{r_1 < r < r_2} v(r_1) K(r_1, r_2) n(r_1) n(r_2) dr_1 dr_2.$$

Область интегрирования в (1.7) на фиг. 1 обозначена S . Поток $\Pi(r)$ соответствует передаче объема через сечение r в пространстве радиусов без пересечения r частицами в отличие от конвективного потока vj (фиг. 2).

При подстановке (1.6) уравнение (1.5) принимает вид уравнения непрерывности

$$(1.8) \quad \partial(vn)/\partial t = -\partial F/\partial r, \quad F = vj + \Pi,$$

где F — полный поток объема в пространстве радиусов. Таким образом, капельный объем переносится в пространстве радиусов в виде потока F , состоящего из двух частей: конвективного потока объема и потока передаваемого объема.

Уравнение непрерывности (1.8) имеет смысл только в большом масштабе по сравнению с характерным пробегом на оси радиусов, равным в логарифмической $\ln r$ шкале $(1/3) \ln 2$. Суть дела заключается в том, что передаваемый объем не может быть точно локализован на оси радиусов, так как он размазывается на длине пробега. Действительно, в процессе $(1) + (2') \rightarrow (3')$ увеличивается на v_1 суммарный объем в интервале (r_2', r_3') (а не в точке $3'$). Заметим, что и равенство (1.6) имеет место с такой же точностью (если считать пробег малым). В этом можно убедиться непосредственно, вычисляя производную $\partial\Pi/\partial r$ с помощью определения (1.7).

2. В стационарном случае поток F равен производительности источника

$$(2.1) \quad F = vj + \Pi = \text{const.}$$

Будем искать степенное решение уравнения (2.1) $n \sim 1/r^m$. Используя однородность ядра (1.4), представим поток в виде

$$(2.2) \quad F = vn^2 r^2 (Q_m + P_m),$$

где Q_m и P_m зависят только от показателя степени m

$$(2.3) \quad Q_m = \int \int_{\substack{0 < x_1 < x_2 < 1 \\ x_1^3 + x_2^3 > 1}} K(x_1, x_2) \frac{dx_1 dx_2}{x_1^m x_2^m};$$

$$(2.4) \quad P_m = \int \int_{0 < x_1 < 1 < x_2} \bar{K}(x_1, x_2) \frac{dx_1 dx_2}{x_1^{m-3} x_2^m}.$$

Конвективный поток и поток передаваемого объема пропорциональны соответственно Q_m и P_m .

Подставляя (2.2) в (2.1) и учитывая, что $v \sim r^3$, получаем

$$(2.5) \quad n(r) \sim 1/r^{5/2}.$$

Легко видеть, что интегралы (2.3) и (2.4) при $m = 5/2$ сходятся. Первый сводится к однократному интегрированию, которое выполняется численно. Интеграл (2.4) вычисляется элементарно. Численные значения коэффициентов $Q_{5/2} \simeq 1,21(2kT/3\eta)$ и $P_{5/2} = 5,05(2kT/3\eta)$. Таким образом, в поток объема основной вклад дает поток передаваемого объема P . Подставляя величины $Q_{5/2}$ и $P_{5/2}$ в (2.2), получаем в согласии с [7, 8]

$$(2.6) \quad n(r) = 0,24(F\eta/kTr^5)^{1/2}.$$

Реально распределение (2.6) может существовать на конечном интервале радиусов. Если область источников $r < a$, а область стока $r > b$, то область существования распределения (2.6) ограничена условиями $a \ll r \ll b$.

Для капель с радиусами > 1 мкм главную роль играет гравитационная коагуляция. Коэффициент скорости гравитационной коагуляции представляется однородной функцией радиусов четвертого порядка [1]. При этом поток объема в пространстве радиусов $F \sim r^4 v n^2$. Отсюда стационарное распределение при гравитационной коагуляции $n \sim r^{-9/2}$. Полное распределение для этого случая см. в [7, 8].

3. Рассмотрим задачу об эволюции нестационарного куполообразного распределения капель по радиусам, которое быстро спадает при малых и больших радиусах. Будем рассматривать окрестность максимума распределения, в которой сосредоточена основная часть капель. Уравнение (1.1) здесь можно упростить, используя слабое изменение распределения в окрестности максимума.

Покажем, что выражение (1.2) для j можно представить в простой алгебраической форме. В области интегрирования r_2 изменяется в интервале от $r/2^{1/3}$ до r , равном характерной длине пробега частицы в пространстве радиусов (фиг. 1). Считая изменение $n(r)$ в этом интервале малым, вынесем множитель $n(r_2)$ из-под знака интеграла. Далее заметим, что большим r_1 соответствует большой пробег, а поэтому окрестность $r_1 \sim r$ дает главный вклад в интеграл. Таким образом, множитель $n(r_1)$ также можно вынести из-под интеграла в точке r . Используя однородность ядра (1.4), получаем

$$(3.1) \quad j \simeq Q_0 r^2 n^2,$$

где Q_0 определяется формулой (2.3) при $m = 0$. Вычисление интеграла дает $Q_0 = J(2kT/3\eta)$, $J \simeq 0,212$.

Подставляя (3.1) и (1.3) в (1.1), получаем уравнение

$$(3.2) \quad \frac{\partial n}{\partial t} = -Q_0 \frac{\partial}{\partial r} r^2 n^2 - n \int_r^\infty K(r, r_2) n(r_2) dr_2.$$

Введем логарифмическую шкалу радиусов $y = \ln(r/r_0)$, где r_0 — некоторый масштаб. Плотность капель на этой шкале обозначим $u(y) = n(r)/(dy/dr) = rn(r)$. Введем еще новую шкалу времени $\tau = 2Q_0 t$. За-

мена переменных приводит уравнение (3.2) к виду

$$(3.3) \quad \frac{\partial u}{\partial \tau} + u \frac{\partial u}{\partial y} = -u \int_y^{\infty} R(y, y_1) u(y_1) dy_1,$$

где

$$(3.4) \quad R(y, y_1) = (1/J)[1 + \operatorname{ch}'(y - y_1)].$$

Следует отметить очевидную аналогию между уравнением (3.3) и уравнением движения газа. Левую часть уравнения (3.3) можно представить в виде производной вдоль характеристики $dy/d\tau = u$, являющейся траекторией движения со скоростью u :

$$(3.5) \quad \frac{d \ln u}{d\tau} = - \int_y^{\infty} R(y, y_1) u(y_1) dy_1.$$

Уравнение (3.5) описывает уменьшение скорости u вдоль характеристики.

Меньше всего затухание скорости в передней части движущегося профиля скорости $u(y)$. Если затухание мало, крутизна профиля будет возрастать в результате того, что более быстрые части, движущиеся сзади, догоняют передние. Таким образом, аналогия с газодинамическим движением проявляется в возможности образования крутого переднего фронта движущегося профиля.

Введем скорость распространения максимума профиля

$$(3.6) \quad u_0 = dy_m/d\tau,$$

где y_m определяется уравнением $\partial u/\partial y = 0$. Дифференцируя последнее уравнение вдоль траектории максимума $y_m(\tau)$, получим

$$(3.7) \quad (\partial^2 u / \partial \tau \partial y)_m + u_0 (\partial^2 u / \partial y^2)_m = 0.$$

Из уравнения (3.3), дифференцируя по y , при $\partial u/\partial y = 0$ имеем

$$(3.8) \quad \left(\frac{\partial^2 u}{\partial \tau \partial y} \right)_m + u_m \left(\frac{\partial^2 u}{\partial y^2} \right)_m = \frac{u_m}{J} \left(2u_m - \int_{y_m}^{\infty} \operatorname{sh}(y_m - y_1) u(y_1) dy_1 \right).$$

Исключая производную по времени, получаем из (3.7) и (3.8) выражение для u_0 :

$$(3.9) \quad u_0 = u_m \left(1 - \frac{2u_m + \int_{y_m}^{\infty} \operatorname{sh}(y_1 - y_m) u(y_1) dy_1}{J (\partial^2 u / \partial y^2)_m} \right).$$

Согласно (3.9), скорость распространения максимума профиля скорости превышает величину максимума u_m (так как $(\partial^2 u / \partial y^2)_m < 0$). Этот эффект «опережающего» распространения максимума обусловлен увеличением затухания скорости от передней к задней части профиля.

Заменяя вблизи максимума $u(y)$ распределением Гаусса

$$(3.10) \quad u(y) \simeq u_m \exp[-a(y - y_m)^2],$$

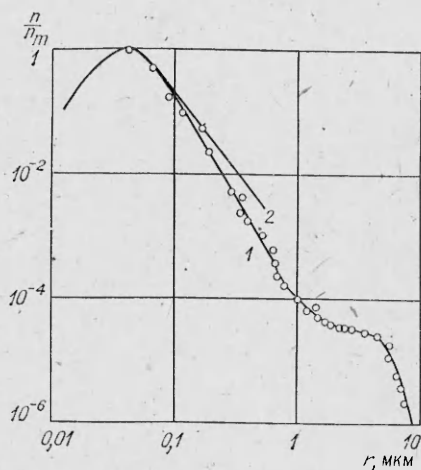
получим из (3.9) оценку скорости распространения через величину максимума и параметр a , определяющий ширину профиля,

$$(3.11) \quad u_0 \simeq u_m \left\{ 1 + \frac{1}{J} \left[\frac{1}{a} + \frac{\sqrt{\pi}}{4} \frac{e^{1/4a}}{a^{3/2}} \Phi \left(\frac{1}{2\sqrt{c}} \right) \right] \right\},$$

где $\Phi(1/2\sqrt{a})$ — интеграл ошибок.

Формулы (3.6) и (3.10) вместе с законом изменения во времени полного числа капель

$$N = u_m \sqrt{\Pi/a}$$



Ф и г. 3

сгорания. Затвердевшие сферические частицы оксида алюминия, накапливающиеся в фильтре, анализировались затем с помощью электронного микроскопа. При этом спектр капель (кривая 1 на фиг. 3) усреднялся за время эксперимента. Судя по характеру, в области около 0,1 мкм спектр может быть обусловлен стационарной тепловой коагуляцией капель с начальными радиусами менее 0,04 мкм. Оценка времени релаксации $\sim r^2 v n / F$ также допускает такую возможность. На фиг. 3 (кривая 2) показан степенной спектр (2.5), хорошо аппроксимирующий экспериментальный в его средней части.

Автор благодарен И. Т. Якубову за предложенную тему и обсуждение, Д. И. Жуховицкому, обратившему внимание автора на эксперимент [10], и А. Г. Храпаку за обсуждение.

ЛИТЕРАТУРА

1. Фуке Н. А. Механика аэрозолей. М.: Изд-во АН СССР, 1955.
2. Волощук В. М., Седунов Ю. С. Процессы коагуляции в дисперсных системах. Л.: Гидрометеопздат, 1975.
3. Junge C. The size distribution and aging of natural aerosols as determined from electrical and optical data on the atmosphere.— J. Meteorol., 1955, vol. 12, N 1; Tellus, 1953, vol. 5, N 1.
4. Friedlander S. K. Similarity consideration for the particle size spectrum of a coagulation, sedimenting aerosol.— J. Meteorol., 1960, vol. 17, N 5.
5. Drake R. A general mathematical survey of the coagulation equation.— In: Topics in current aerosol research. Pt 2/Ed. G. Nidy, J. Brock. Oxford: Pergamon Press, 1972.
6. Лушников А. А., Смирнов В. И. Стационарная коагуляция и распределения частиц атмосферных аэрозолей по размерам.— Изв. АН СССР. Физика атмосферы и океана, 1975, т. 11, № 2.
7. Смирнов В. И. Решения семейства уравнений стационарной коагуляции и модель спектра частиц атмосферного аэрозоля.— Изв. АН СССР. Физика атмосферы и океана, 1977, т. 13, № 3.
8. Винокуров Л. И., Кац А. В. Степенные решения кинетического уравнения при стационарной коагуляции атмосферных аэрозолей.— Изв. АН СССР. Физика атмосферы и океана, 1980, т. 16, № 6.
9. Ликальтер А. А., Найлис Г. В. Колебательные распределения в сильно возбужденных молекулярных газах.— В кн.: Химия плазмы. Вып. 8. М.: Энергопздат, 1981.
10. Бахир А. П., Левашенко Г. И., Полякова Н. Г. Определение мнимой части показателя преломления и размеров капель Al_2O_3 в пламени.— Журн. прикл. спектроскопии, 1973, т. 18, вып. 6.

Поступила 15/XII 1983 г.